

Fig. 1 (Prior Art)

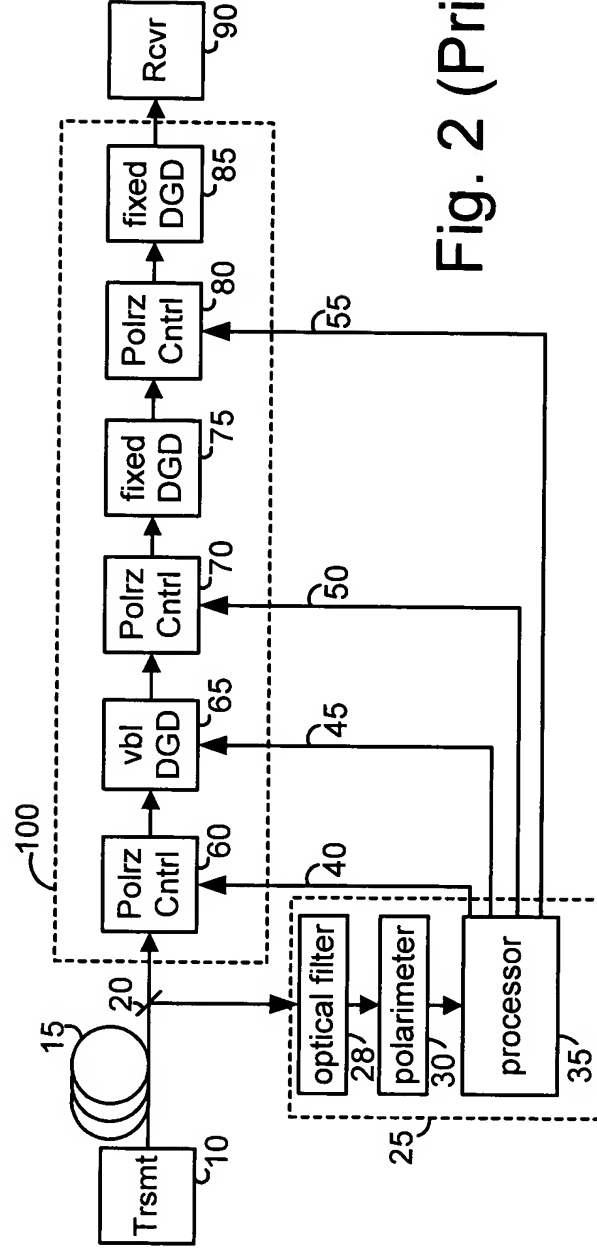


Fig. 2 (Prior Art)

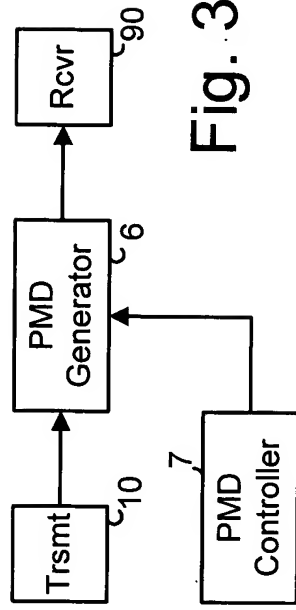


Fig. 3 (Prior Art)

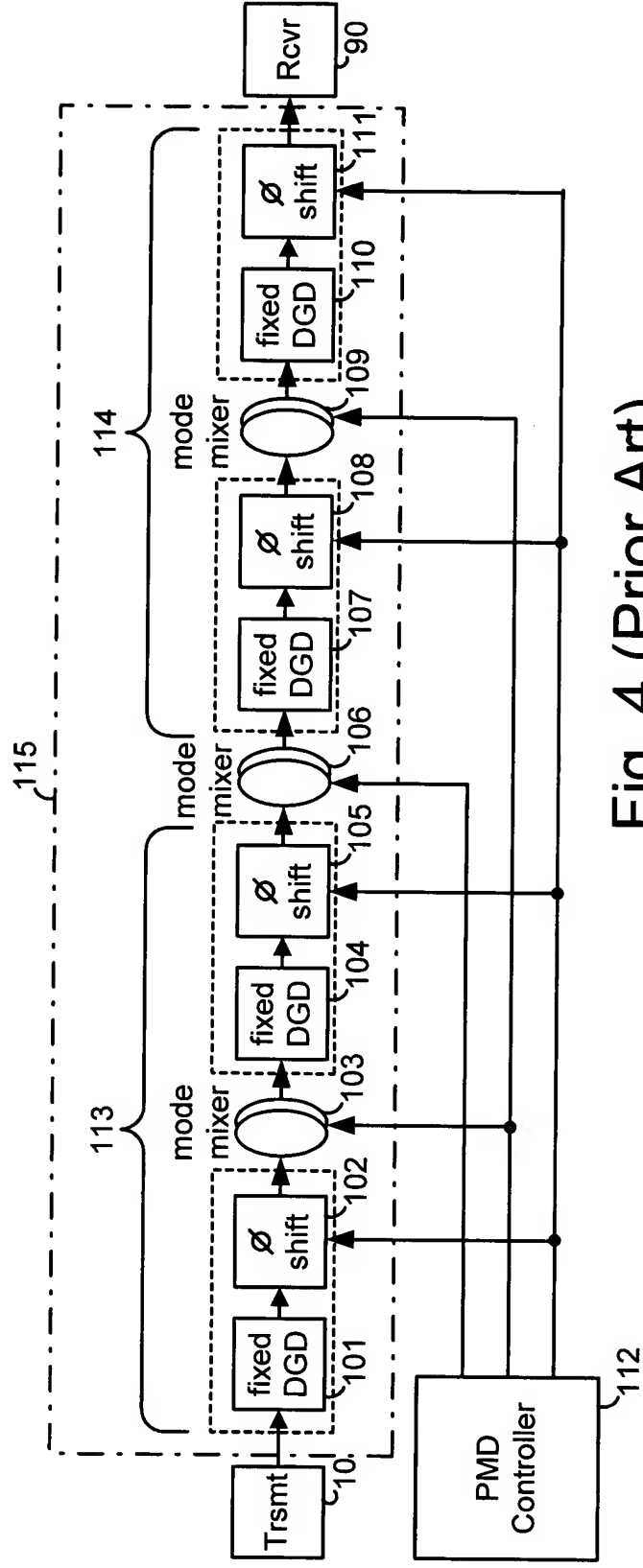


Fig. 4 (Prior Art)

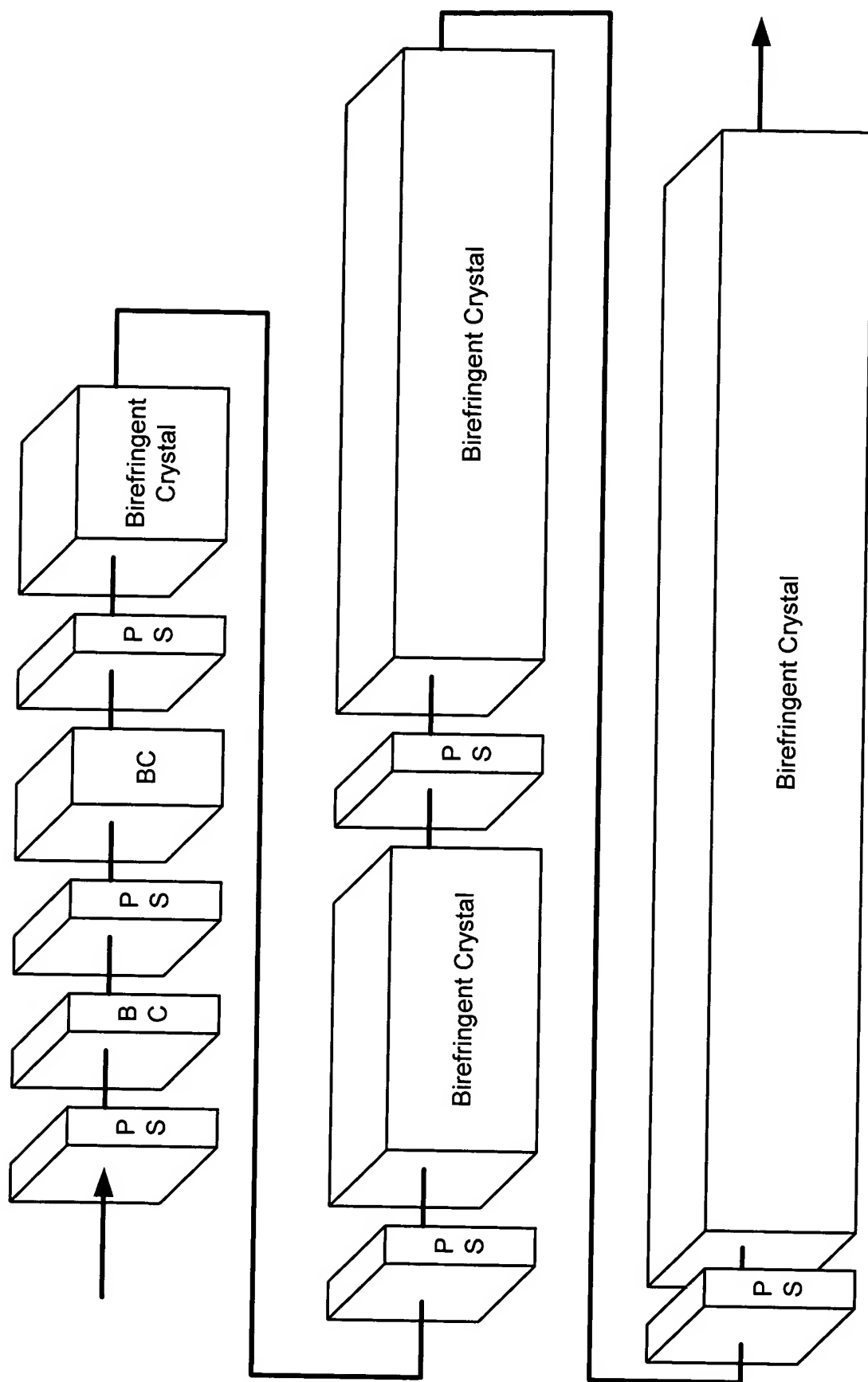
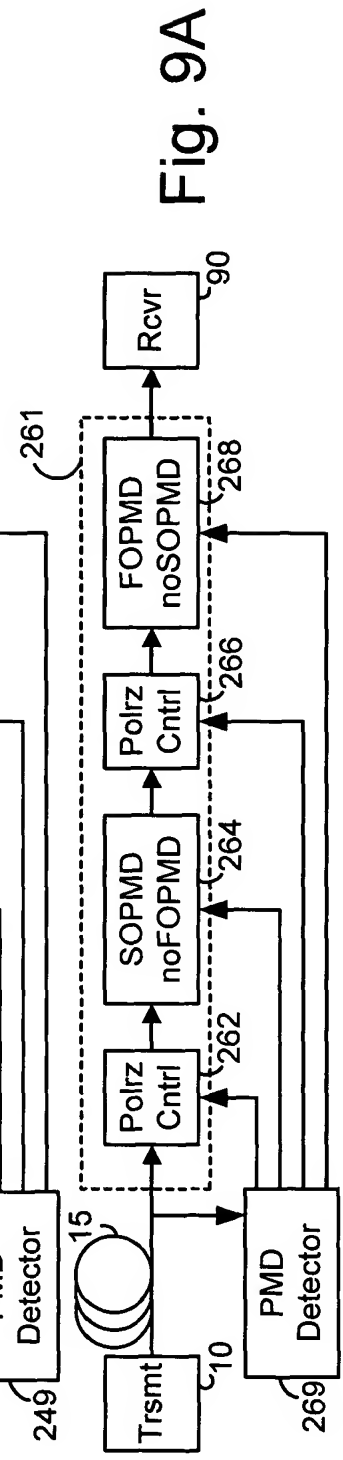
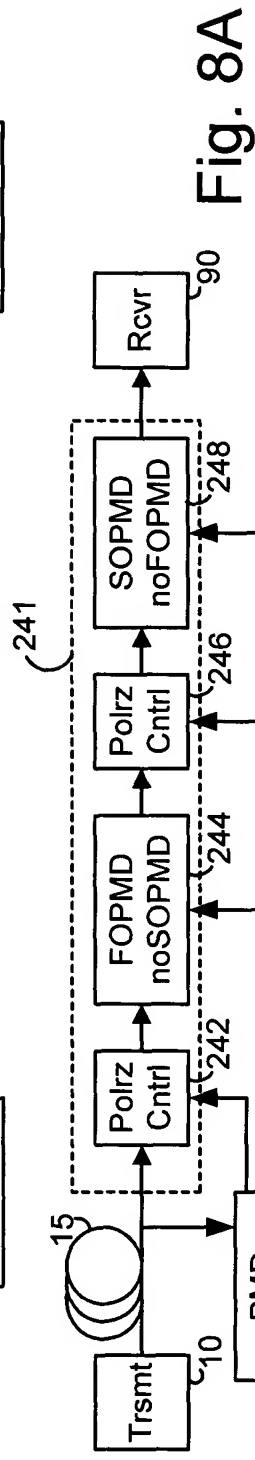
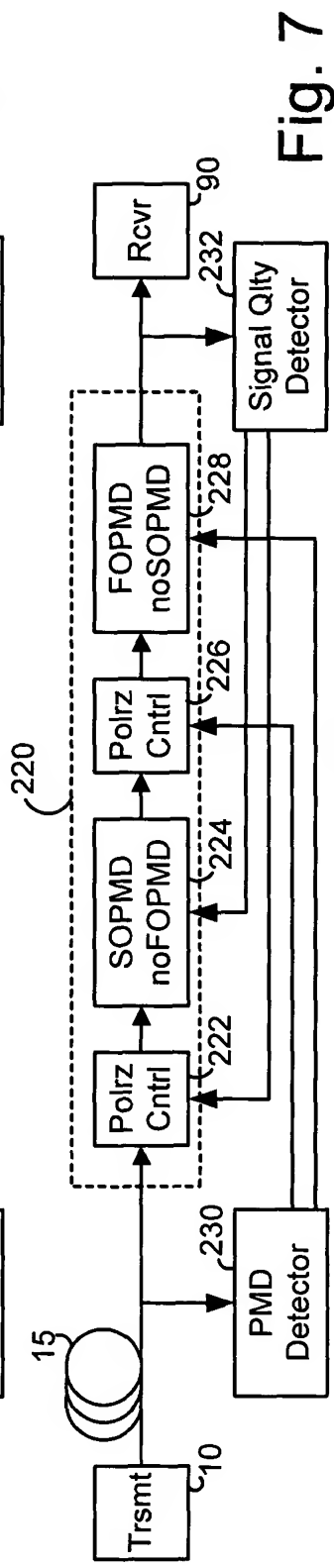
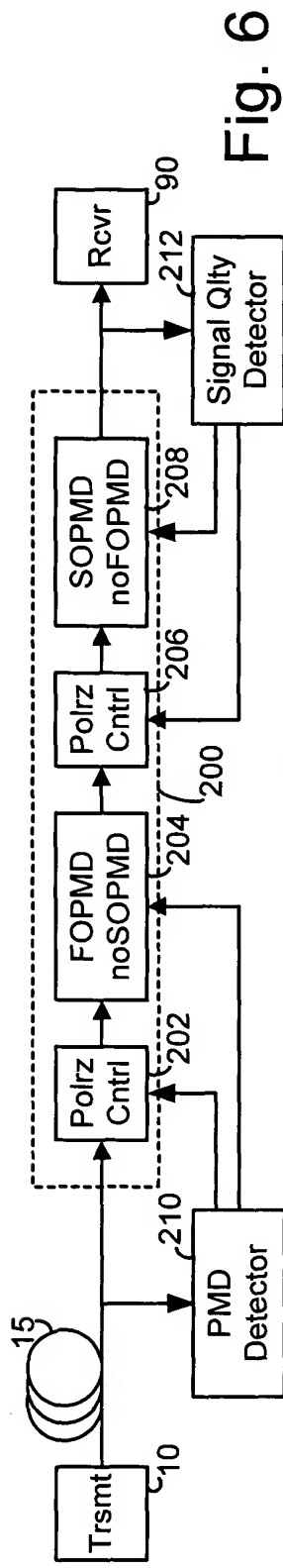


Fig. 5



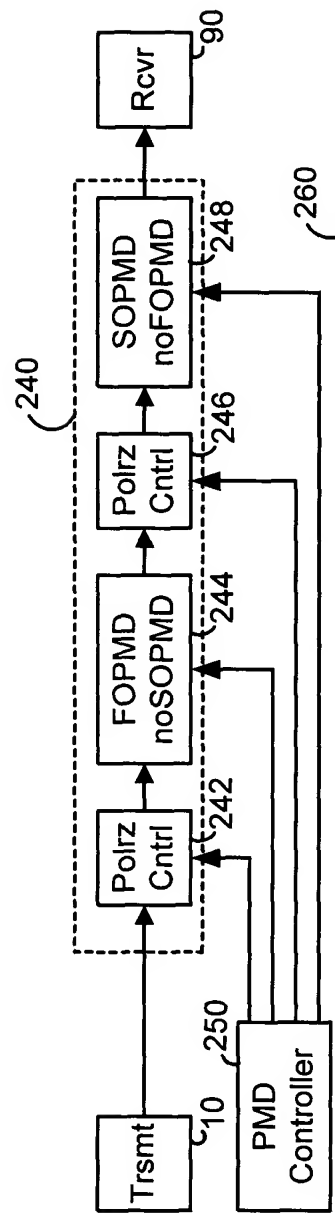


Fig. 8B

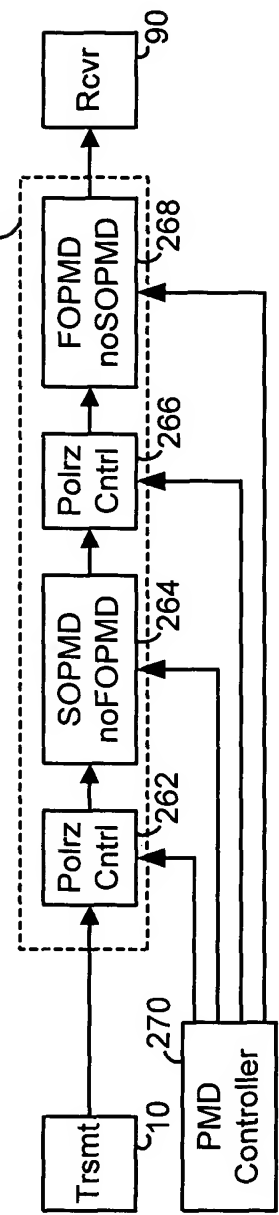


Fig. 9B

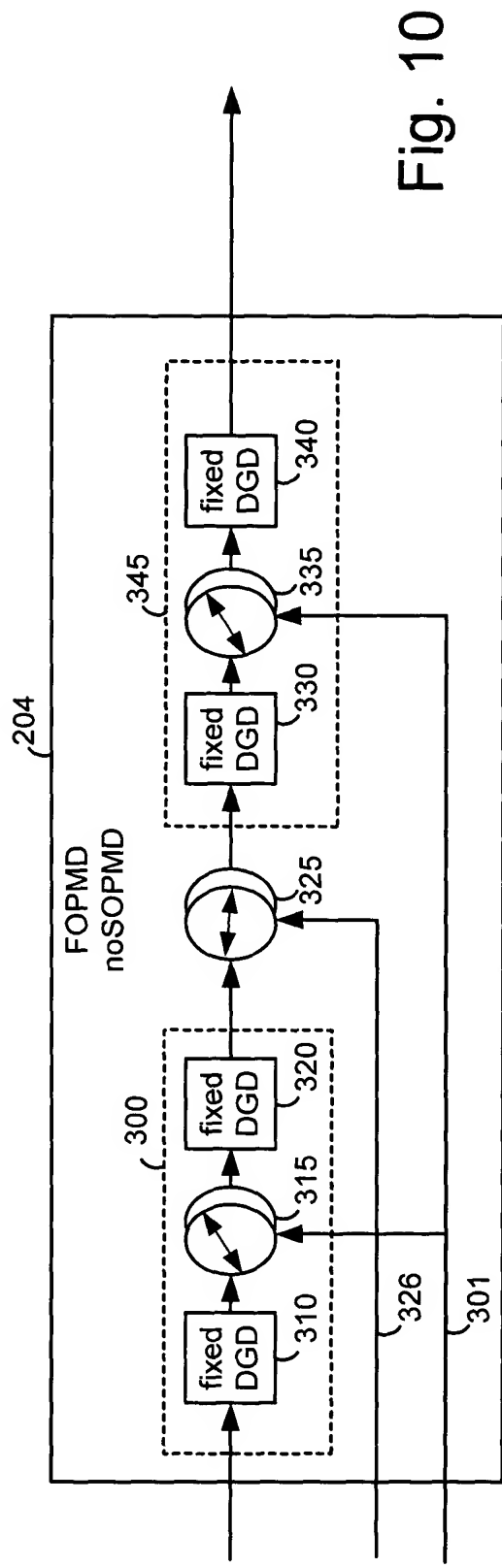


Fig. 10

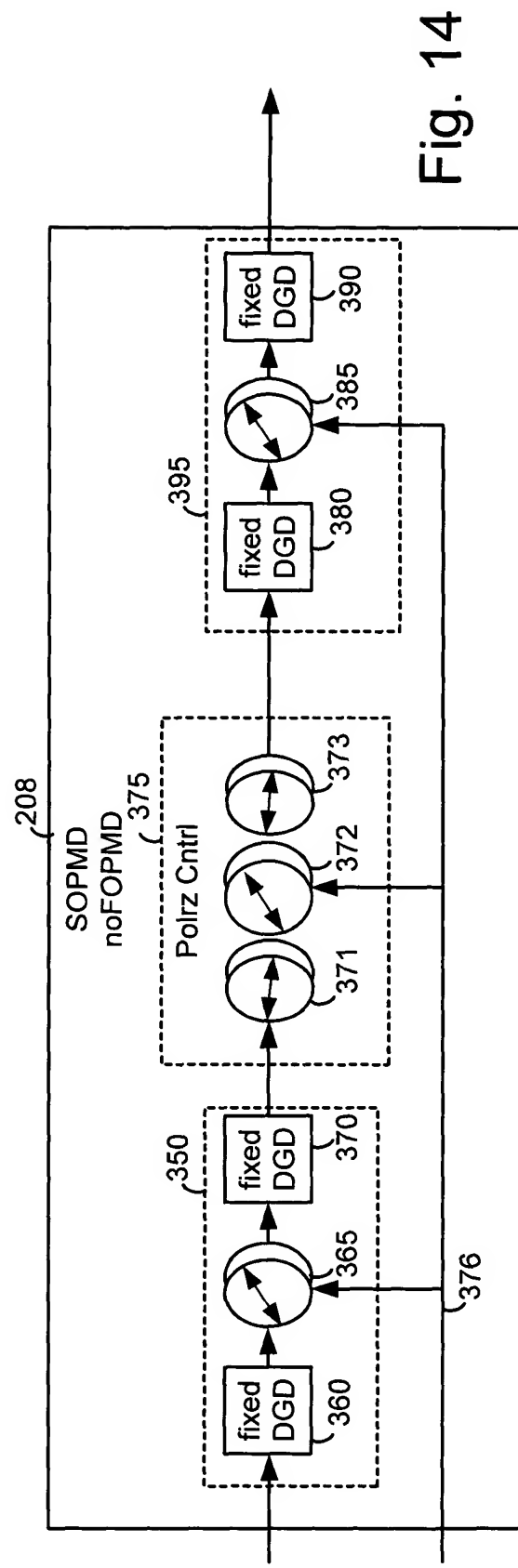


Fig. 14

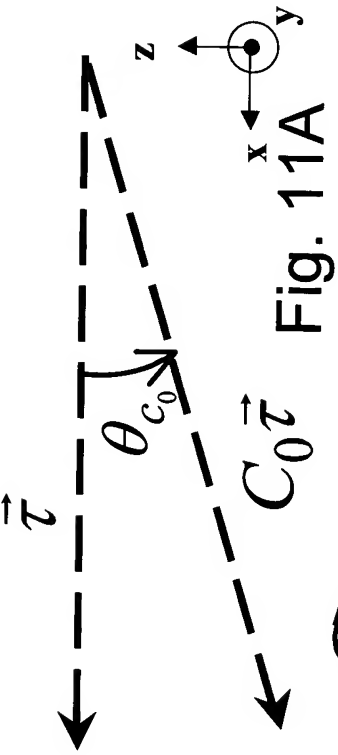


Fig. 11A

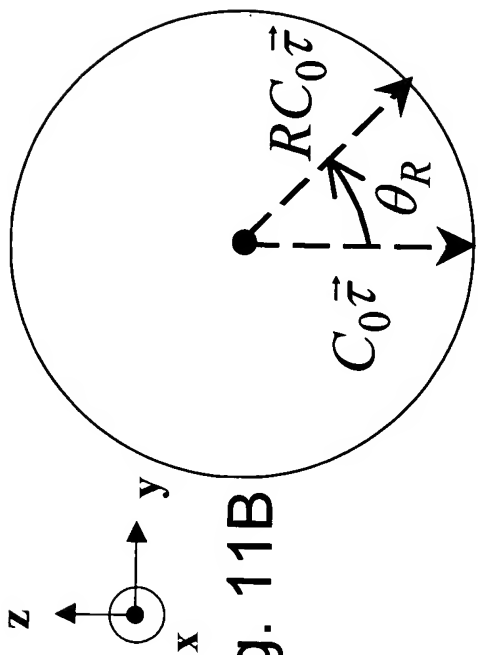


Fig. 11B

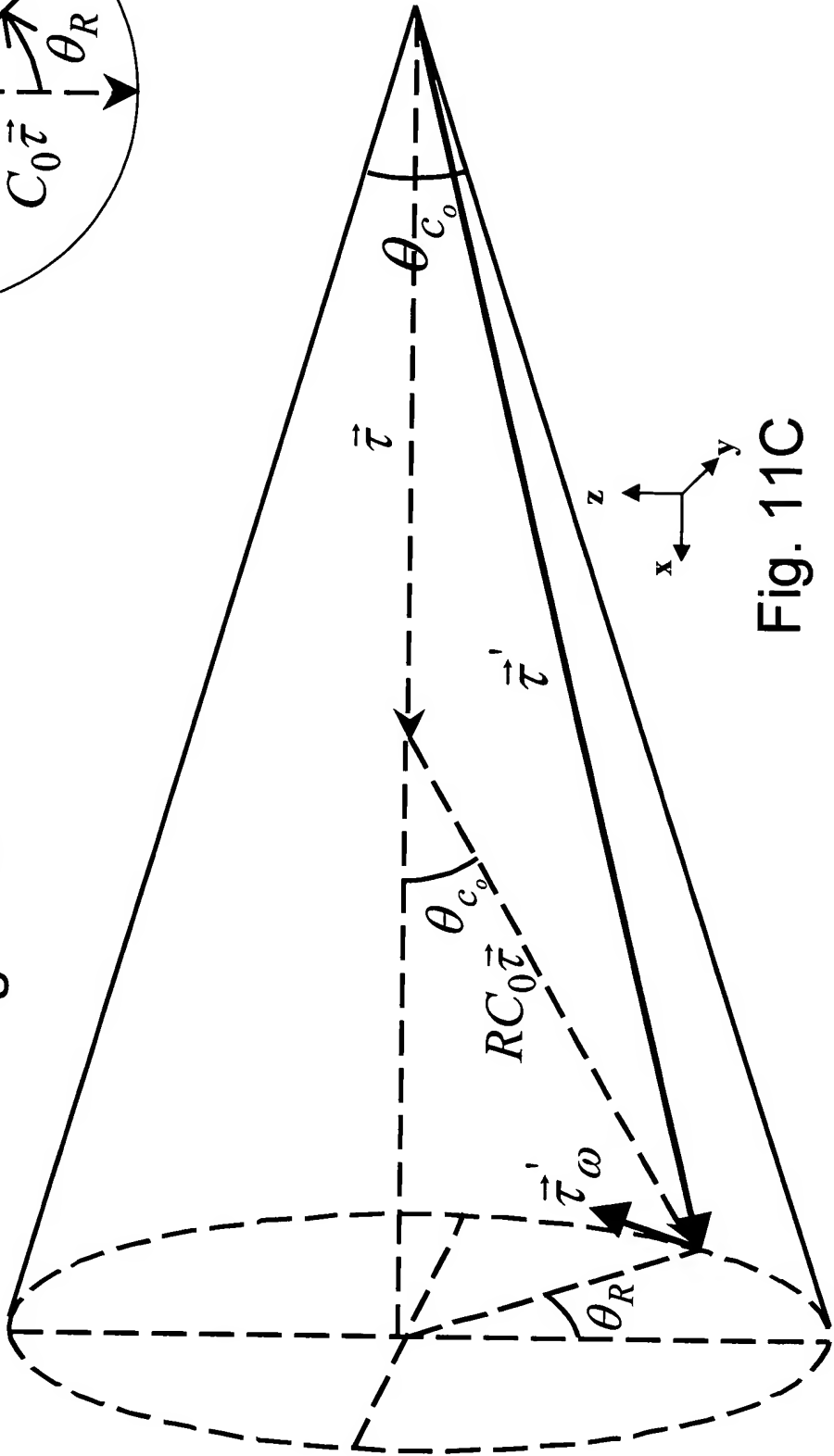


Fig. 11C

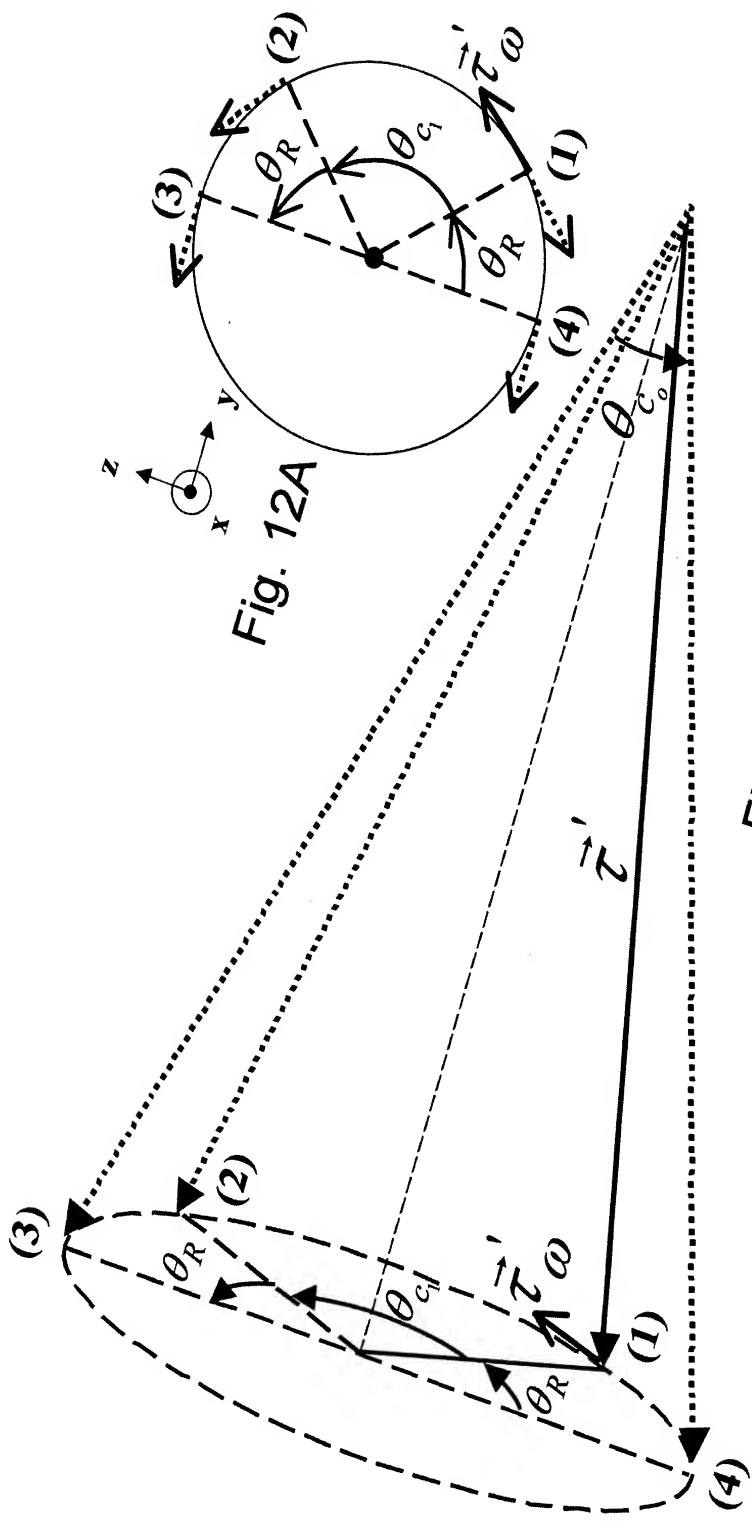
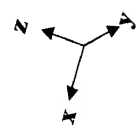


Fig. 12A

Fig. 12B





Rotation angle of  $C_0$  (rad)

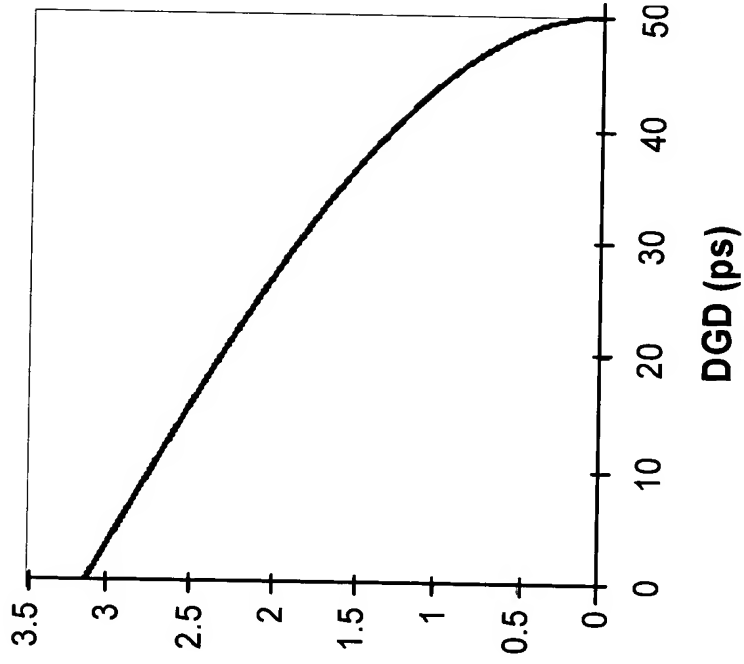


Fig. 13A

Rotation angle of  $C_1$  (rad)

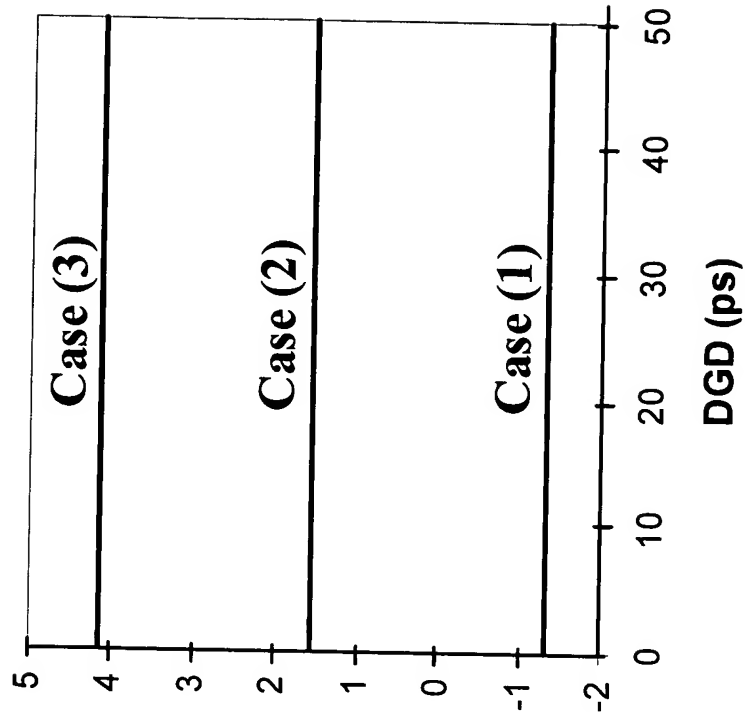


Fig. 13B

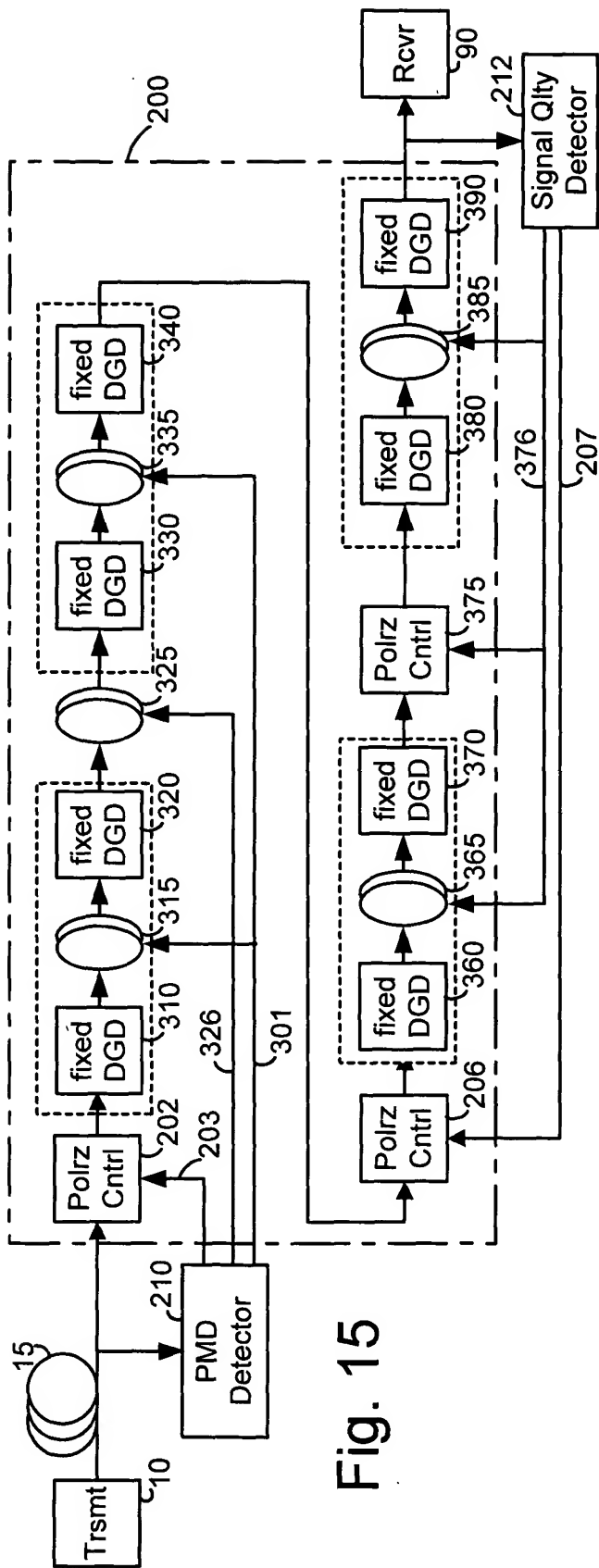


Fig. 15

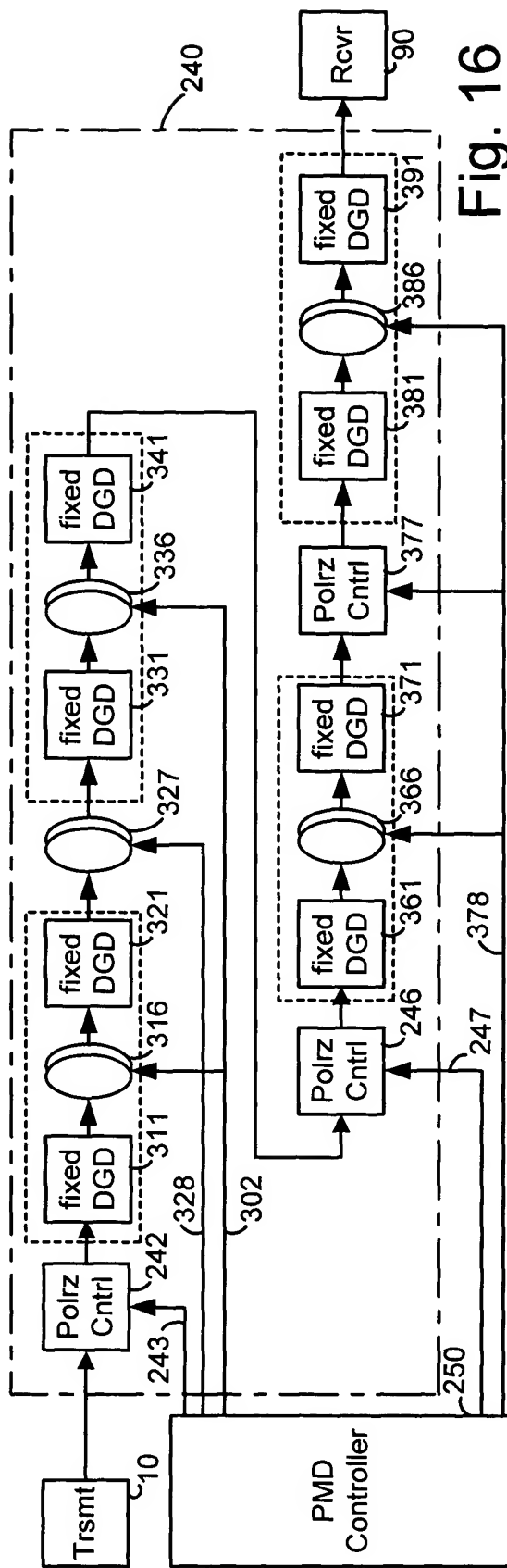


Fig. 16